

РОССИЙСКАЯ АКАДЕМИЯ НАУК
СИБИРСКОЕ ОТДЕЛЕНИЕ

ЖУРНАЛ СТРУКТУРНОЙ ХИМИИ

Основан в 1960 г.

Выходит 6 раз в год

Т О М 51

Сентябрь – октябрь

№ 5, 2010

СОДЕРЖАНИЕ

ТЕОРИЯ СТРОЕНИЯ МОЛЕКУЛ И ХИМИЧЕСКОЙ СВЯЗИ

Грибов Л.А.

841

Новая форма электронно-ядерного гамильтониана и энергетической матрицы в теории строения и свойств молекул

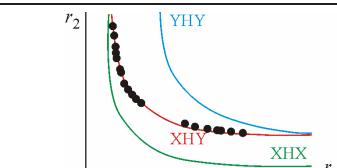
Ключевые слова: многоатомная молекула, разделение движений, усредненный потенциал, дополнительные ограничения

Тараканова Е.Г., Юхневич Г.В.

846

Соотношение между длинами связей в водородных мостиках OHN и OHCL

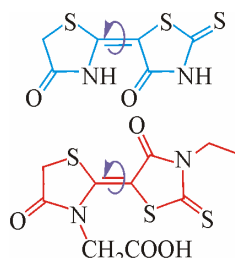
Ключевые слова: водородный мостик, длина H-связи, квантово-химический расчет



Барышников Г.В., Минаев Б.Ф., Минаева В.А., Огрен Х.

853

Теоретическое исследование конформационного строения и термодинамических свойств 5-(4-оксо-1,3-тиазолидин-2-илиден)-роданина и этил-5-(4-оксо-1,3-тиазолидин-2-илиден)-роданин-3'-уксусной кислоты как акцепторных группировок индолиновых красителей

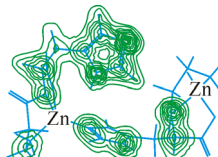


Ключевые слова: индолиновые красители, роданин, бироданины, теория функционала плотности, энергия нулевых колебаний, энталпия образования, конформационные изомеры

Демухамедова С.Д., Алиева И.Н., Годжаев Н.М.

860

Пространственное и электронное строение мономерных и димерных комплексов карнозина с цинком



Ключевые слова: биокарнозин, комплекс карнозина с цинком, квантово-химические расчеты

Golmohammadi H., Dashtbozorgi Z.

870

Prediction of water-to-polydimethylsiloxane partition coefficient for some organic compounds using QSPR approaches

$$K_{\text{PDMS-water}} =$$

Keywords: quantitative structure-property relationship, water-to-polydimethylsiloxane partition coefficient, artificial neural network, multiple linear regression, genetic algorithm, siloxane

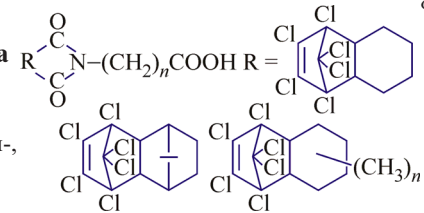
$$\begin{aligned} &= [C_i/C_{i+1} - 1] \cdot V_W/V_{\text{PDMS}} \\ &\log K_{\text{PDMS-water}} = \\ &= a_0 + a_1 x_1 + a_2 x_2 + \dots + a_n x_n \end{aligned}$$

Салахов М.С., Гречкина О.Т., Багманов Б.Т.

Корреляционный прогноз кислотности и температуры плавления диеновых аддуктов гексахлорцикlopентадиена с N-алкилкарбоксиимидаами малеиновой, циклогексен- и эндиковой 1,2-дикарбоновых кислот

Ключевые слова: N-алкилкарбоксиимидаы гексахлорциклогептен-, гексахлортрициклоундцен-, гексахлортетрациклоундцен-1,2-дикарбоновых кислот, теоретико-информационные индексы, константа кислотной ионизации, температура плавления

883



ИССЛЕДОВАНИЕ СТРОЕНИЯ МОЛЕКУЛ ФИЗИЧЕСКИМИ МЕТОДАМИ

Тен Г.Н., Нечаев В.В., Панкратов А.Н., Березин В.И., Баранов В.И.

Влияние водородной связи на структуру и колебательные спектры комплементарных пар оснований нукleinовых кислот. II. Аденин—тимин

Ключевые слова: аденин, тимин, комплементарная пара, колебательные спектры, водородная связь, интерпретация

Кавун В.Я., Слободюк А.Б., Войт Е.И., Синебрюхов С.Л., Меркулов Е.Б., Гончарук В.К.

Ионная подвижность и строение стекол в системах ZrF₄–BiF₃–MF₂ (M = Sr, Ba, Pb) по данным ЯМР, ИК и КР спектроскопии

Ключевые слова: фториды циркония, висмута, бария, свинца, стронция, фтороцирконатные стекла, спектры ЯМР ¹⁹F, ИК и КР, ионная подвижность и проводимость, строение

Машковцев Р.И., Кулик Л.В., Солнцев В.П.

Атомы серебра в структурных каналах берилла

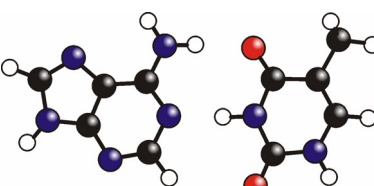
Ключевые слова: ЭПР, ЭСЭ, берилл, атом серебра

Вовна В.И., Осьмушко И.С., Короченцев В.В., Шапкин Н.П., Тутов М.В.

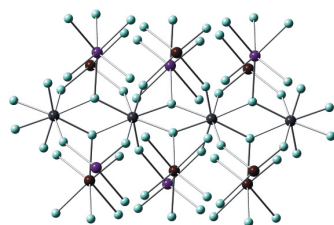
Исследование электронной структуры поливинилсилоксана (CH₂CHSiO_{1,5})_n методами рентгеновской фотоэлектронной спектроскопии и квантово-химического моделирования в приближении ТФП

Ключевые слова: полимеры, силоксаны, РФЭС, ТФП, электронная структура, XPS, DFT

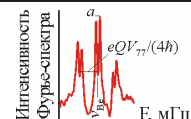
889



896



903



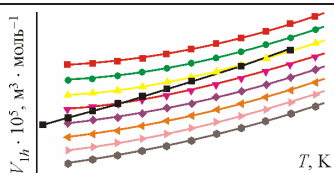
СТРУКТУРА ЖИДКОСТЕЙ И РАСТВОРОВ

Зайцев А.А., Афанасьев В.Н., Устинов А.Н.

Адиабатическая и изотермическая сжимаемость водных растворов хлорида натрия

Ключевые слова: адиабатическая сжимаемость, изотермическая сжимаемость, водные растворы, число гидратации

916

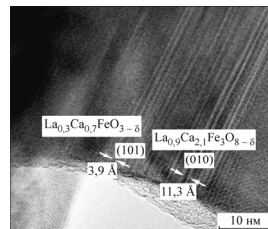


КРИСТАЛЛОХИМИЯ

Надеев А.Н., Цыбуля С.В., Герасимов Е. Ю.,
Куликовская Н.А., Исупова Л.А.

Структурные особенности формирования гетеровалентных твердых растворов $\text{La}_{1-x}\text{Ca}_x\text{FeO}_{3-\delta}$ ($0 \leq x \leq 0,7$)

Ключевые слова: первоскит, морфотропный фазовый переход, наноструктурированное состояние, подвижная форма кислорода

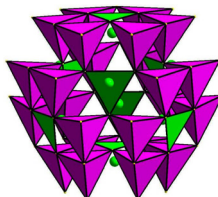


927

Первухина Н.В., Борисов С.В., Магарилл С.А., Васильев В.И.,
Куратьева Н.В., Козлова С.Г.

Уточнение кристаллической структуры As-швацита $\text{Cu}_6(\text{Cu}_{5,26}\text{Hg}_{0,75})(\text{As}_{2,83}\text{Sb}_{1,17})\text{S}_{13}$ (Акташ, Горный Алтай)

Ключевые слова: As-швацит, сфалеритовый каркас, кластерная вакансия, Hg-теннантит, Cu_6S -октаэдр

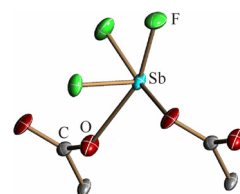


934

Удовенко А.А., Макаренко Н.В., Давидович Р.Л.,
Земнухова Л.А., Ковалева Е.В.

Кристаллическая структура тетрафторантимоната(III) *L*-лейциния

Ключевые слова: кристаллическая структура, комплексное соединение, тетрафторантимонат(III), *L*-лейцин, димерная группа

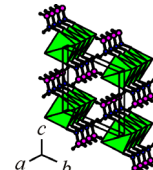


940

Штуценберг А.Г., Пьянкова Л.А., Пунин Ю.О.

Кристаллическая структура и инфракрасная спектроскопия $\text{MCl}_2 \cdot 2\text{CONH}_3$ ($\text{M} = \text{Cu}, \text{Mn}$)

Ключевые слова: синтаксия, формамид, монокристальный рентгено-структурный анализ, инфракрасная спектроскопия

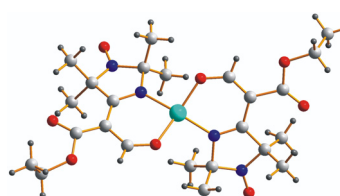


945

Бурдуков А.Б., Беккер К.С., Степанов Г.А., Богатырев А.Л.,
Первухина Н.В., Богомяков А.С., Резников В.А.

Структура и магнитные свойства новых хелатных комплексов меди(II) и никеля(II) с нитроксильным радикалом этил-2-(1-оксил-2,2,5,5-тетраметилимидазолидин-4-илиден)-3-оксопропаноатом

Ключевые слова: радикалы нитроксильные, комплексы, строение, магнитные свойства

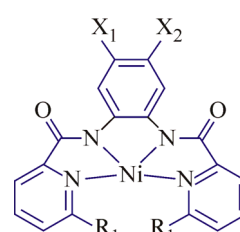


951

Kwak H., Eom G.H., Lee S.H., Koo H.G., Jang S.P., Lee J., Shin W., Lah M.S., Kim C., Kim S.-J., Kim Y.

Steric effect on construction of extended architectures of Ni(II) complexes directed by intermolecular C-H···F and C-H···O interactions

Keywords: pyridine carboxamide, nickel(II) complex, crystal structure, electronic effect, weak interactions, hydrogen bond, supramolecular architecture, cyclic voltammetry

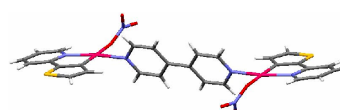


957

Панова А.Г., Проц И., Фундаменский В.С., Балашев К.П.

Кристаллическая и молекулярная структура комплекса μ -4,4'-бипиридил-бис[транс-C,O-нитрато(2-(2'-тиенил-3-идо)пиридинпальладий]

Ключевые слова: циклопалладированный биядерный комплекс, 2-(2'-тиенил)пиридин, 4,4'-бипиридил, рентгеноструктурный анализ, ЯМР ^1H спектроскопия



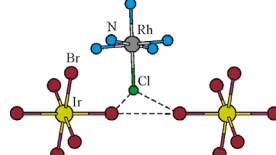
965

Юсенко К.В., Шушарина Е.А., Громилов С.А.

969

**Рентгеноструктурный анализ поликристаллов
 $M^I(NH_3)_5Cl][M^{II}Br_6]$ ($M^I = Rh, Ir; M^{II} = Re, Ir$)**

Ключевые слова: рентгенофазовый анализ, полнопрофильный анализ, метод Ритвельда, кристаллохимия

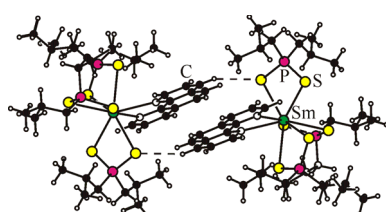


Кокина Т.Е., Клевцова Р.Ф., Усков Е.М., Глинская Л.А.,
Брылева Ю.А., Ларионов С.В.

976

**Кристаллическая структура соединения $Sm(Phen)$
 $(i\text{-}Bu}_2PS_2)_3 \cdot MeCN$ и фотолюминесцентные свойства
 $SmL (i\text{-}Bu}_2PS_2)_3$ ($L = Phen, 2,2'\text{-Bipy}$)**

Ключевые слова: разнолигандный комплекс,
дизобутилдитиофосфинат, Sm, Phen, 2,2'-Бипи, кристаллическая
и молекулярная структура, фотолюминесценция

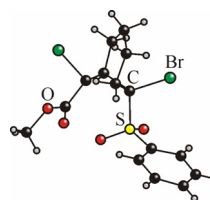


Васин В.А., Петров П.С., Генаев А.М., Гиндин В.А., Разин В.В.

982

**О пространственном строении метил
6,7-эндо,син-дибром-7-анти-(фенилсульфонил)
бицикло[3.1.1]гептан-6-экзо-карбоксилата**

Ключевые слова: трицикло[4.1.0.0^{2,7}]гептан, бицикло[3.1.1]гептан,
норпинан, рентгеноструктурный анализ, спектры ЯМР 1H и ^{13}C ,
донорно-акцепторное взаимодействие, затрудненное вращение,
коалесценция, квантово-химический расчет, метод DFT



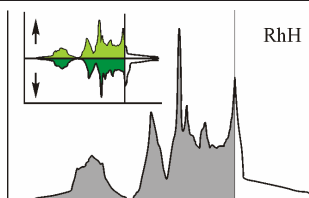
КРАТКИЕ СООБЩЕНИЯ

Банников В.В., Шеин И.Р., Ивановский А.Л.

989

**Электронная структура и магнитные свойства
гидридов родия RhH_x ($x = 0,25, 1,00, 1,33$)
по данным зонных FLAPW-GGA расчетов**

Ключевые слова: гидриды родия, структурные, электронные,
магнитные свойства, моделирование

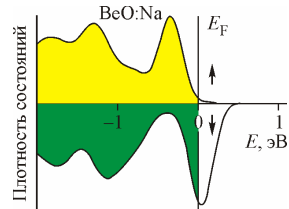


Горбунова М.А., Шеин И.Р., Макурин Ю.Н., Кийко В.С.,
Ивановский А.Л.

992

**Влияние примесей Li и Na на электронные
и магнитные свойства оксида бериллия**

Ключевые слова: оксид бериллия, примеси лития, натрия,
электронные, магнитные свойства, моделирование

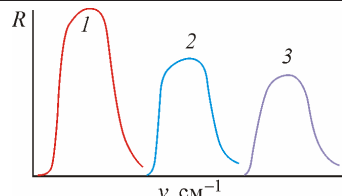


Абдукадырова И.Х.

995

**Закономерности радиационного изменения спектральных
характеристик модификаций диоксида кремния**

Ключевые слова: диоксид кремния, стеклообразный,
кристаллический, модификация, закономерности,
спектральные характеристики, быстрые нейтроны

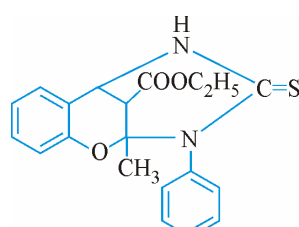


Магеррамов А.М., Курбанов А.В., Хрусталев В.Н.,
Годжаева С.С., Гарифов Э.Н., Фарзалиев В.М.,
Аллахвердиев М.А.

999

**Кристаллическая структура этил 9-метил-10-фенил-11-
тиоксо-8-окса-10,12-диазатрицикло[7.3.1.0^{2,7}]тридека-
2(7),3,5-триен-13-карбоксилата**

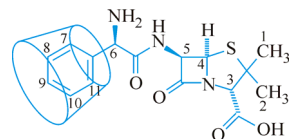
Ключевые слова: рентгеноструктурный анализ, кристаллическая
структура, этил 9-метил-10-фенил-11-тиоксо-8-окса-10,12-
диазатрицикло[7.3.1.0^{2,7}]тридека-2(7),3,5-триен-13-карбоксилат,
N1-фенилтиокарбамид



Upadhyay S.K., Ali S.M.

NMR investigation on the interaction of β -cyclodextrin and ampicillin

Keywords: NMR spectroscopy, COSY, ROESY, inclusion complex

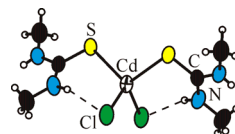


1003

Malik M.R., Ali S., Fettouhi M., Isab A.A., Ahmad S.

Structural characterization of chloridobis(N,N' -dimethylthiourea-S)cadmium(II)

Keywords: cadmium chloride, N,N' -dimethylthiourea, crystal structure

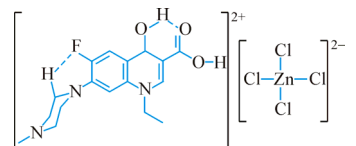


1007

Головнёв Н.Н., Наумов Н.Г., Бахтина А.А., Лыхин А.О.

Строение соединения $C_{17}H_{22}FN_3O_3^{2+} \cdot ZnCl_4^{2-}$

Ключевые слова: фторхинолон, пефлоксацин, хлорид цинка, кристаллическая структура, водородные связи, $\pi-\pi$ -взаимодействие



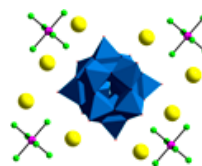
1011

Соколов М.Н., Коренев В.С., Пересыпкина Е.В., Федин В.П.

Кристаллическая структура двойной соли

$Cs[\alpha-BW_{12}O_{40}][RhCl_6] \cdot 5,5H_2O$

Ключевые слова: гетерополивольфраматы, бор, родий, двойные соли, кристаллическая структура

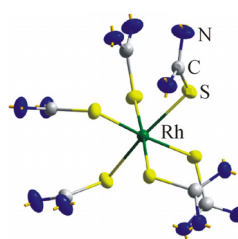


1014

Шушарина Е.А., Дружинина И.А., Татарчук В.В., Громилов С.А.

Кристаллическая структура тиомочевинных комплексов $[Rh(Thio)_6](NO_3)_3 \cdot 3H_2O$ и $[Pd(Thio)_4](NO_3)_2$ – продуктов экстракционной переработки нитратно-нитритных растворов родия(III) и палладия(II)

Ключевые слова: родий, палладий, комплексная соль, рентгеноструктурный анализ

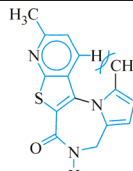


1017

Pesyan N.N.

Crystal structure of 1,9-dimethyl-4,5-dihydro-6H-pyrido[3',2':4,5]thieno[2,3-f]pyrrolo[1,2-a][1,4]diazepin-6-one

Keywords: hydrogen bond, independent molecules, torsion helicoid, diazepinones

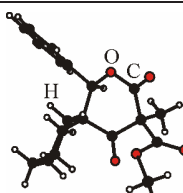


1021

Кириллов Н.Ф., Мелехин В.С., Алиев З.Г.

Строение метилового эфира 4-метил-3,5-диоксо-1-фенил-2-оксаспиро[5.5]ундекан-4-карбоновой кислоты методом рентгеноструктурного анализа

Ключевые слова: диоксипираны, спирогетероциклы, цинкеноляты, рентгеноструктурный анализ

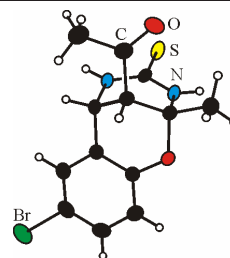


1026

Курбанова М.М., Курбанов А.В., Новрузова А.Б., Хрусталев В.Н., Магеррамов А.М.

Кристаллическая структура 1-(4-бром-9-метил-11-тиоксо-8-окса-10,12-диазатрицикло[7.3.1.0^{2,7}]тридека-2,4,6-триен-13-ил)этанона

Ключевые слова: кристаллическая структура, 1-(4-бром-9-метил-11-тиоксо-8-окса-10,12-диазатрицикло[7.3.1.0^{2,7}]тридека-2,4,6-триен-13-ил)этанон



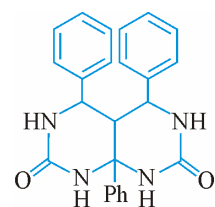
1028

Курбанова М.М., Курбанов А.В., Новрузова А.Б.,
Хрусталев В.Н., Магеррамов А.М.

1031

Кристаллическая структура 4,5-бис-фенил-8а-фенил-3,4,4a,5,6,8a-гексагидро-1h,8h-пиримидо[4.5-d]пиридин-2,7-диона

Ключевые слова: кристаллическая структура, 4,5-бис-фенил-8а-фенил-3,4,4a,5,6,8a-гексагидро-1H,8H-пирамидо[4.5-d]пирамидин-2,7-дион



Содержание следующего номера — в конце журнала